

А. Ковальчук, Д. Пелешко, А. Шкодин, О. Троян  
 Національний університет "Львівська політехніка",  
 кафедра автоматизованих систем управління

## ПРО ОДИН АЛГОРИТМ ШИФРУВАННЯ-ДЕШИФРУВАННЯ ЗОБРАЖЕНЬ З ВИКОРИСТАННЯМ ПОРОЗРЯДНИХ ОПЕРАЦІЙ

© Ковальчук А., Пелешко Д., Шкодин А., Троян О., 2011

**Побудовано стійкий алгоритм шифрування та дешифрування зображень, який задовольняє вимоги: забезпечення широкого діапазону ключа, забезпечення захисту від основних методів криптоаналізу, виключення можливості візуального розпізнавання деталей зображення.**

**Ключові слова: стійкий алгоритм, діапазон ключа, зображення, криптоаналіз.**

**An algorithm is resistant encryption and decryption of images that satisfy the requirements of: providing a wide range of key protection of the basic methods of cryptanalysis, removing the possibility of visual recognition of image details.**

**Keywords: sustainable algorithm, a range of key, image, cryptanalysis.**

### Вступ

У сучасному світі інформація має також матеріальну цінність, як у комерційній сфері, так і у сфері державної безпеки, де збереження її конфіденційності є критичним. Зокрема, такою інформацією можуть бути наукові розробки, бізнес-стратегії, військові плани тощо. Велику частку такої інформації становлять зображення.

З розвитком технологій та нарощуванням потужності комп'ютерної техніки застосування методів криптоаналізу стає менш складним, як і безпека інформації, зашифрованої «застарілими» методами. Потреба у розробленні нових алгоритмів вкрай висока. Крім того, виникають тенденції створення криптометодів, спеціалізованих для конкретних типів даних, таких як текст, зображення, звук, відео тощо.

Цифрові зображення потребують особливої уваги [1], оскільки вони містять візуальну інформацію, що потрібно враховувати з погляду шифрування. Алгоритм шифрування повинен, окрім криптостійкості, ще й унеможливити візуальне розпізнавання деталей зображення.

Оскільки зображення можна розуміти як дискретний сигнал, кожен відлік якого є значенням кольору або інтенсивності одного пікселя, а число відліків відповідно дорівнює кількості пікселів, то можна розглядати шифрування зображення як деформацію сигналів [2].

Для поставленої мети добре підходять тригонометричні функції, оскільки вони чутливі до зміни свого значення при зміні значення аргумента, внаслідок чого забезпечується певна стійкість результату та відповідно ускладнюється можливість аналізу в зв'язку із нелінійністю перетворень значень інтенсивностей кожного пікселя.

### Мета роботи

Побудова стійкого алгоритму шифрування та дешифрування зображень, а саме:

- забезпечення широкого діапазону ключа;
- захист від основних методів криптоаналізу;
- унеможливлення візуального розпізнавання деталей зображення.

### Характеристики зображення

Розглянемо зображення як послідовність дискретних сигналів з числом пікселів  $w \cdot h$ , де  $w$  – ширина зображення, а  $h$  відповідно висота [3-4]. Тоді представимо зображення у вигляді вектора послідовних пікселів:

$$\vec{p} = (a_0, a_1, \dots, a_{w \cdot h - 1}) \quad (1)$$

де  $a_i$  відповідно значення інтенсивності  $i$ -го пікселя,

Залежно від зображення розмір  $a_i$  може складати 1 (для чорно-білих) або 3 (кольорові зображення) байти. Згідно зі сказаним вище, максимальне значення, котре може набути  $a_i$ , позначимо як  $max$ , значення 255 для чорно-білих та 16777215 для кольорових.

### Опис алгоритму шифрування-дешифрування

Під ключем будемо розуміти символний рядок довільної довжини  $m$  і позначимо його як вектор  $\overline{key}$ . Довільне початкове значення ключа шифрування позначимо  $F_0$ , для прикладу виберемо  $F_0 = 23f3cba2_{16}$ .

Функцію перетворення ключа шифрування визначимо так:

$$F_i(\overline{key}, F_{i-1}) = \sum_{j=0}^{m-1} (key[j] * \cos^i(F_{i-1}) + key[m-j] * \sin^i(F_{i-1}) + F_{i-1}^2)$$

де  $F_{i-1}$  - попереднє значення функції, при  $i = 1$  у функцію передається  $F_0$ .

### Алгоритм шифрування

1. Обчислюється значення функції від  $F_0$ :

$$f = F(\overline{key}, F_0).$$

2. Отримане значення додається за модулем 2 до поточного значення

$$a'_i = a_i \oplus (f \& max).$$

де  $a'_i$  – зашифроване значення.

3. Обчислюється наступне значення функції

$$f = F(\overline{key}, f)$$

4. Повторюються кроки 2, 3 поки усі елементи вектора не будуть опрацьовані, тобто  $w \cdot h$  разів.

### Дешифрування

Для здійснення дешифрування, через симетрію операції додавання за модулем 2, до зашифрованого зображення достатньо застосувати пункти 1-4 алгоритму шифрування. На виході отримаємо дешифроване зображення

Наведений алгоритм шифрування можна представити у вигляді схеми.

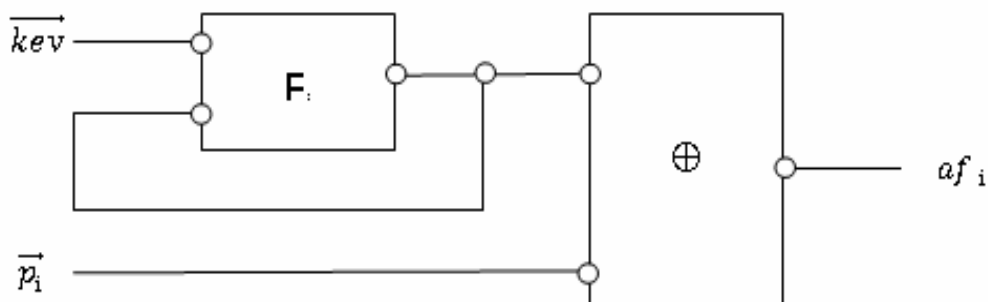


Рис. 1. Схема шифрування

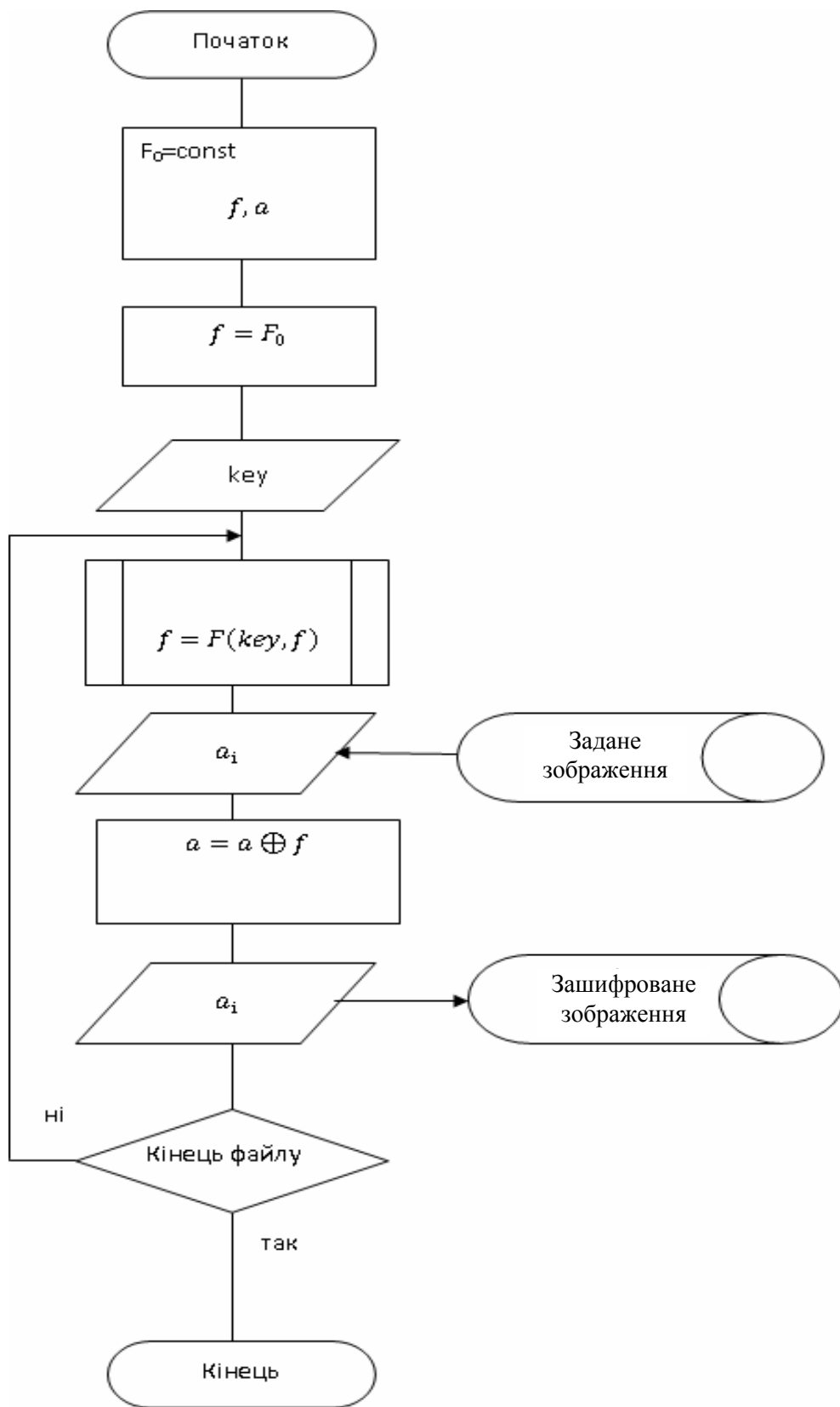
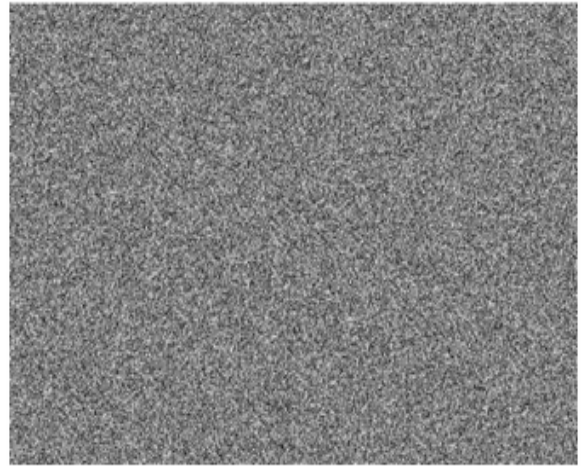


Рис. 2. Блок-схема шифрування-дешифрування

Результати роботи алгоритму над чорно-білим зображенням показано на рис. 3–5.



*Рис. 3. Початкове зображення*



*Рис. 4. Зашифроване зображення*

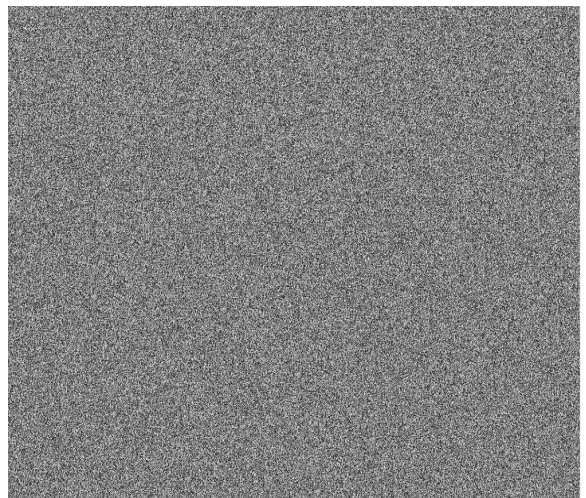


*Рис. 5. Дешифроване зображення*

Результат роботи алгоритму над кольоровими зображеннями показано на рис. 6–8.



*Рис. 6. Початкове зображення*



*Рис. 7. Зашифроване зображення*



Рис. 8. Дешифроване зображення

Як видно з рис. 4 та рис. 7, результат шифрування візуально є доволі добрим, зашумленість результуючого зашифрованого зображення не дає змоги виділити будь-яку закономірність чи візуально розпізнати деталі зображення. Початкове та дешифроване зображення ідентичні, тобто виконується символічна рівність (піксельна)

$$\forall i, 0 \leq i \leq (w \cdot h), a_i = a_i'$$

Фрагменти цифрових значень матриць інтенсивностей пікселів кольорових зображень у текстовому поданні з використанням ключа  $key = 7A8F145F$  і  $F_0 = 23f3cba216$  показано на рис. 9–11.

|          |          |          |          |          |          |
|----------|----------|----------|----------|----------|----------|
| -4143656 | -4077863 | -4077350 | -4077350 | -4142630 | -4142630 |
| -4208936 | -4143143 | -4142630 | -4142630 | -4142630 | -4076837 |
| -4208423 | -4208423 | -4142630 | -4142630 | -4141860 | -4141860 |
| -4207653 | -4273446 | -4273446 | -4207653 | -4207396 | -4141603 |
| -4207653 | -4207653 | -4273189 | -4207396 | -4141603 | -4075810 |
| -4207908 | -4207908 | -4207396 | -4141603 | -4075810 | -4010017 |
| -4207908 | -4142115 | -4076067 | -4010274 | -4075810 | -4010017 |
| -4142115 | -4076322 | -4010274 | -3944481 | -4010017 | -4010017 |
| -4207653 | -4207653 | -4207396 | -4141603 | -4140833 | -4140833 |
| -4141860 | -4141860 | -4207396 | -4075810 | -4140833 | -4075040 |

Рис. 9. Фрагмент початкового зображення

|           |           |           |           |           |           |
|-----------|-----------|-----------|-----------|-----------|-----------|
| -16056164 | -2297837  | -15067338 | -13361709 | -7653040  | -13766677 |
| -14153740 | -5548310  | -13579969 | -2342897  | -4738912  | -13461124 |
| -3569513  | -3646628  | -9480201  | -11760728 | -7021085  | -897643   |
| -7064671  | -13988266 | -9855316  | -11481083 | -3983554  | -4872665  |
| -5931359  | -1318154  | -12877869 | -3423922  | -9075996  | -9673922  |
| -7923552  | -9902616  | -8548116  | -16617881 | -2209510  | -1944432  |
| -3825148  | -3778995  | -14236582 | -195220   | -10264851 | -1304354  |
| -6366077  | -10792703 | -11283858 | -10049522 | -9575885  | -3591965  |
| -8313304  | -2592583  | -2793186  | -127967   | -15627448 | -3180121  |
| -15221428 | -2306473  | -5439553  | -5021955  | -8044724  | -4149800  |

Рис. 10. Фрагмент зашифрованого зображення

|          |          |          |          |          |          |
|----------|----------|----------|----------|----------|----------|
| -4143656 | -4077863 | -4077350 | -4077350 | -4142630 | -4142630 |
| -4208936 | -4143143 | -4142630 | -4142630 | -4142630 | -4076837 |
| -4208423 | -4208423 | -4142630 | -4142630 | -4141860 | -4141860 |
| -4207653 | -4273446 | -4273446 | -4207653 | -4207396 | -4141603 |
| -4207653 | -4207653 | -4273189 | -4207396 | -4141603 | -4075810 |
| -4207908 | -4207908 | -4207396 | -4141603 | -4075810 | -4010017 |
| -4207908 | -4142115 | -4076067 | -4010274 | -4075810 | -4010017 |
| -4142115 | -4076322 | -4010274 | -3944481 | -4010017 | -4010017 |
| -4207653 | -4207653 | -4207396 | -4141603 | -4140833 | -4140833 |
| -4141860 | -4141860 | -4207396 | -4075810 | -4140833 | -4075040 |

Рис. 11. Фрагмент дешифрованого зображення

### Висновок

Порівнявши рис. 4 і рис. 7, бачимо, що шифрування чорно-білих і кольорових зображень візуально майже не відрізняється. Контури в обох зашифрованих зображеннях відсутні. Вказаний алгоритм можна використати при передаванні графічних зображень. Запропоновані модифікації можна використати стосовно будь-якого типу зображень, але найбільші переваги досягаються у разі використання зображень, які дають змогу чітко виділяти контури.

Для збільшення швидкодії можна здійснювати шифрування вектора з  $n$  елементів (за блоками пікселів, оскільки поелементний доступ до файла займає більше машинного часу).

1. Шнайер Б. *Прикладная криптография*. – М.: Триумф, 2003. – 815 с. 2. Яне Б. *Цифровая обработка изображений*. – М.: Техносфера, 2007. – 583 с. 3. Рашкевич Ю.М., Пелешко Д.Д., Ковальчук А.М., Пелешко М.З. *Модифікація алгоритму RSA для деяких класів зображень // Технічні вісті 2008/1(27), 2(28)*. – С. 59–62. 4. Rashkevych Y., Kovalchuk A., Peleshko D., Kupchak M. *Stream Modification of RSA Algorithm For Image Coding with precize contour extraction. Proceedings of the X-th International Conference CADSM, 2009. 24–28 February 2009, Lviv–Polyana, Ukraine*. – P. 469–473.